

УДК 532.5.013.2:539.3

© 1992 г. В. А. ЕРОШИН

ЭКСПЕРИМЕНТАЛЬНОЕ ИССЛЕДОВАНИЕ ВХОДА УПРУГОГО ЦИЛИНДРА В ВОДУ С БОЛЬШОЙ СКОРОСТЬЮ¹

Проникание цилиндра (диска) в воду теоретически и экспериментально рассматривалось в работах [1—15]. Эти исследования включают в себя ряд вопросов: определение ударных нагрузок, изучение волновых процессов и напряженно-деформированного состояния погружающихся тел, исследование кинематических параметров тел в процессе входа в воду и при движении на подводной части траектории.

Физические процессы, сопровождающие вход в воду, взаимосвязаны и оказывают влияние друг на друга. Однако их изучение ведется, как правило, изолированно. В настоящее время наиболее полно исследованы ударные нагрузки. Для тел вращения с различными головными частями они определены в широком диапазоне чисел Маха, углов входа и атаки. Значительно меньшее число работ посвящено изучению напряженно-деформированного состояния погружающихся тел, хотя при больших скоростях этот вопрос достаточно актуален. Информация об изменении кинематических параметров тел в процессе входа в воду и при движении на подводной части траектории почти отсутствует.

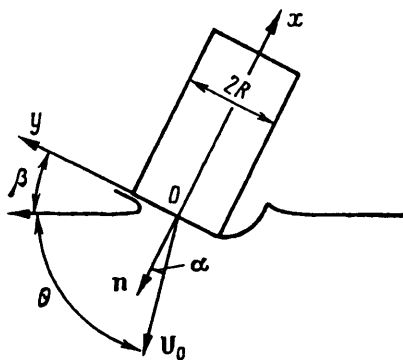
В последнее время в экспериментальном изучении входа тел в воду с большой скоростью наметился некоторый прогресс. Это связано с появлением новых методик и способов измерения. Для исследования влияния чисел Маха на величину ударных нагрузок разработана методика моделирования сжимаемости жидкости, в соответствии с которой вместо воды в качестве рабочей среды используется жидкость с низкой скоростью звука (мелкодисперсная среда, состоящая из жидкости с пузырьками газа, безразмерное уравнение состояния которой совпадает с безразмерным уравнением состояния воды [1]). Значительное развитие получил метод регистрации продольных волн сжатия, возбуждающихся в погружающихся телах при ударе о воду [2, 3]. Предложен метод исследования поперечных (изгибных) волн [3, 4]. Для изучения закона движения тел на подводной части траектории разработана методика пространственно-временных измерений кинематических параметров.

В данной статье на примере проникания цилиндра (торцом) сделана попытка охватить проблему входа в воду в целом, дать представление о различных сторонах протекающих при этом процессов и их взаимосвязи. Погружение рассматривается от момента первоначального контакта диска с поверхностью жидкости до перехода его движения в квазистационарный режим.

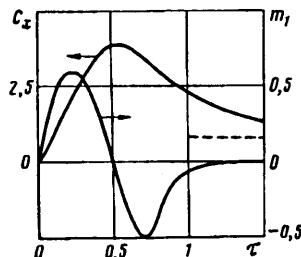
1. Определение ударных нагрузок. Рассмотрим проникание абсолютно твердого диска (цилиндра торцом) в жидкость под углом к свободной поверхности (фиг. 1). Будем предполагать, что вертикальная плоскость, проходящая через вектор скорости v_0 центра диска в момент его касания с поверхностью жидкости, является плоскостью симметрии. Введем подвижную декартову систему координат xz с началом в центре диска. Ось x направим по оси симметрии диска в сторону, противоположную движению, ось y — вверх вдоль диаметра диска. При наличии плоскости симметрии ось z будет параллельна свободной поверхности.

Ориентацию диска по отношению к свободной поверхности и направление вектора скорости v зададим с помощью углов входа и атаки. Угол θ между вектором скорости центра диска и невозмущенным уровнем свободной поверхности

¹ По материалам доклада, прочитанного на VII съезде по теоретической и прикладной механике. Москва, август 1991 г. Представлено Ю. Л. Якимовым.



Фиг. 1



Фиг. 2

назовем углом входа, угол α между нормалью n к плоскости диска и вектором скорости v — углом атаки. Угол α будем отсчитывать от вектора нормали к вектору скорости (положительное направление против часовой стрелки, если смотреть с положительной стороны оси z).

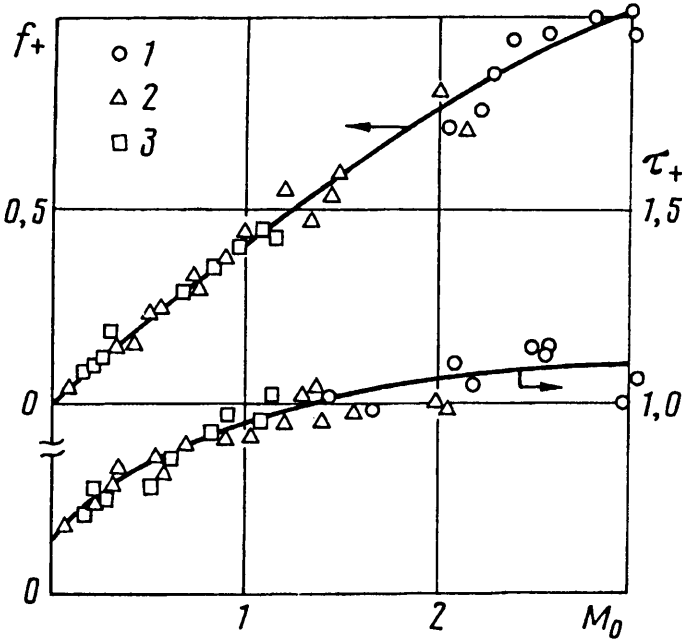
Систему гидродинамических сил, действующих на смоченную поверхность диска, приведем к центру диска и заменим одной силой, равной главному вектору системы F , и одной парой с моментом, равным главному моменту системы относительно центра диска M_0 . Если жидкость невязкая, главный вектор направлен по нормали к поверхности диска ($F_y = F_z = 0$), а главный момент лежит в плоскости диска ($M_x = 0$). Если, кроме того, движение обладает плоскостью симметрии (плоскость xy), проекция главного момента на ось y также равна нулю ($M_y = 0$). Следовательно, главный вектор и главный момент определяются лишь скалярными величинами — проекциями F_x и M_z .

Если скорости погружения невелики, а углы между плоскостью диска и невозмущенным уровнем свободной поверхности не слишком малы, величины ударных нагрузок удовлетворительно описываются в рамках несжимаемой жидкости и зависят от плотности жидкости, скорости погружения, углов входа и атаки. Опытные данные по определению сил и моментов, действующих на погружающийся изолированный диск в широком диапазоне углов входа и атаки, а также приближенные формулы для их описания приведены в [5—7]. Типичные осциллограммы ударного коэффициента сопротивления $C_x = 2F_x/\rho_0 v_0^2 R^2$ и безразмерного момента $m_1 = M_z/\rho_0 v_0^2 R^3$ от безразмерного времени $\tau = v_0 t \sin \theta / [2R \cos(\theta - \alpha)]$ при погружении диска в воду с малой скоростью приведены на фиг. 2 ($M = 0,002$; $\theta = 75^\circ$; $\alpha = 0$).

При входе в воду с большой скоростью или при ударах, близких к плоскому, жидкость уже нельзя считать несжимаемой и одним из основных определяющих параметров становится число Маха $M = v_0/a_0$ (отношение скорости проникания к скорости звука в воде). В этом случае проведение экспериментов встречает значительные трудности, связанные с большими ударными нагрузками и крайне малым временем протекания процесса. Уменьшение ударных сил и увеличение продолжительности процесса (при сохранении числа Маха) возможно. Для этого вместо воды в качестве рабочей среды надо использовать мелкодисперсную среду, состоящую из жидкости с пузырьками газа, скорость звука в которой значительно меньше, чем в воде. Безразмерное уравнение состояния такой среды имеет вид [1]

$$\rho = \rho_0 \left[(1 - \alpha_0) + \alpha_0 \left(1 + \frac{\gamma}{\alpha_0} \frac{\Delta P}{\rho_0 a_0^2} \right)^{-1/2} \right]^{-1} \quad (1.1)$$

где $\Delta P = P - P_0$ — перепад давления, ρ — плотность жидкости, a_0, α_0 — скорость звука и объемная концентрация газа в невозмущенной области, γ — показатель



Фиг. 3

адиабаты газа. При малых значениях параметров $\Delta P/\rho_0 a_0^2 \ll 1$, $\Delta\rho/\rho_0 \ll 1$ уравнение (1.1) с точностью до малых членов имеет вид

$$\frac{\Delta P}{\rho_0 a_0^2} = \frac{\Delta\rho}{\rho_0} \left\{ 1 + \frac{\Delta\rho}{\rho_0} \left[\frac{(1+\gamma)}{2\alpha_0} - 1 \right] \right\} \quad (1.2)$$

В линейном приближении оно совпадает с уравнением состояния для воды в форме Тета при произвольной объемной концентрации газа. При более высоких значениях давления, когда необходимо учитывать вторые члены разложения, необходимая объемная концентрация газа равна $\alpha_0 = (1+\gamma)/(n+3)$. При давлениях $0,25 < \Delta P/\rho_0 a_0^2 < 1,0$ удовлетворительное соответствие между уравнением (1.1) и уравнением состояния воды в форме Тета имеет место при $0,25 < \alpha_0 < 0,35$ [1]. Это позволяет в лабораторных условиях при сравнительно небольших скоростях погружения моделировать (с точки зрения сжимаемости жидкости) условия входа тел в воду со скоростями до 1000–1500 м/с. Так как абсолютные значения давления в этом случае сравнительно невелики, погружающиеся тела можно считать абсолютно твердыми. Использование этой методики позволило определить ударные нагрузки, действующие на диск [8–10], тупые конусы и полусферу [1, 11] в широком диапазоне чисел Маха, углов входа и атаки.

Гидродинамические силы. Приведем результаты исследования зависимости безразмерной силы, действующей на диск, от числа Маха и угла β ($\beta = \pi/2 - (\theta - \alpha)$) при несимметричном проникании диска в сжимаемую жидкость. Опытные данные показывают, что в пределах точности измерений максимальные значения безразмерной силы $f_+ = F_+/\rho_0 v_0 a_0 R^2$ и безразмерного времени ее нарастания от нуля до максимума τ_+ зависят не от каждого из параметров M и β в отдельности, а от их комбинации $M_0 = M \cos \alpha / \sin \beta$, называемой геометрическим числом Маха (в проведенных экспериментах угол атаки $\alpha = 0$). Зависимости f_+ и τ_+ от M_0 приведены на фиг. 3. Точками 1–3 изображены экспериментальные данные, соответствующие значениям угла $\beta = 5^\circ, 10^\circ$ и 15° , сплошной линией — результаты обработки экспериментов методом наименьших квадратов. При $0 < M_0 < 1$ функция $f_+(M_0)$ близка к линейной и может быть

представлена в виде: $f_+ = 0,45M_0$. Из этой формулы нетрудно получить выражение для максимального значения силы, действующей на диск при погружении в несжимаемую жидкость. Переходя от f_+ к ударному коэффициенту сопротивления, получаем: $C_x^+ = 0,9 / \sin \beta$. Легко видеть, что при малых значениях угла β это выражение удовлетворительно согласуется с приближенной формулой [6]

$$C_x^+ = 0,8 \cos \alpha \left[1 + \frac{\sin \theta}{\cos(\theta - \alpha)} \right]$$

Опытные данные, приведенные на фиг. 3, и приближенное аффинное подобие функций $F(t)$, характеризующих изменение силы с течением времени, позволяют описать зависимость $F(t)$ в широком диапазоне чисел Маха углов входа и атаки.

Момент гидродинамических сил. Количество работ, посвященных определению момента гидродинамических сил, невелико. Экспериментальное исследование момента, действующего на абсолютно твердый диск при малых числах Маха (несжимаемая жидкость), приведено в [7]. Опытные данные получены при скорости погружения до 3,5 м/с, углах входа $57,5^\circ < \theta < 70^\circ$ и нулевом угле атаки $\alpha = 0$. В работе [9] методом физического моделирования получены результаты для момента при проникании диска в сжимаемую жидкость при углах входа $54^\circ < \theta < 88^\circ$, углах атаки $-15^\circ < \alpha < +15^\circ$ и числах Маха $0,002 < M < 0,2$.

Если влияние сжимаемости несущественно, экстремальные значения безразмерного момента m_i и характерные значения безразмерного времени τ зависят не от каждого из параметров α и θ , а от угла β . При $5^\circ \leq \beta \leq 45^\circ$ зависимости максимального m_i^+ и минимального m_i^- значений момента приближенно могут быть представлены следующим образом [9]:

$$m_i^+ = 0,12(1 + \operatorname{ctg} \beta), \quad m_i^- / m_i^+ = 0,78 \sqrt{(\beta/\pi)} \operatorname{ctg} \beta$$

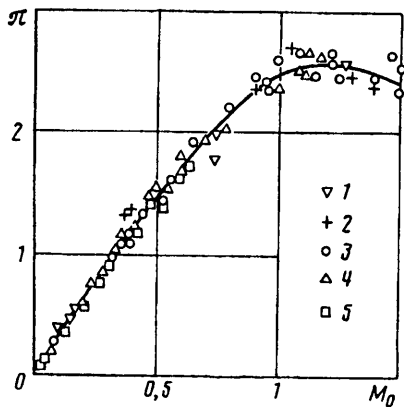
Положение нуля функции $M_z(\tau)$, за исключением области малых значений угла β ($\beta < 5^\circ$), практически не зависит от β : $\tau_0 \approx 0,5 \pm 0,05$. При $0 < \tau < \tau_0$ момент имеет симметричную относительно положения максимума τ_+ форму, т. е. $\tau_+ / \tau_0 \approx 0,5$. Относительное положение минимума момента зависит от угла β и с достаточной точностью описывается формулой $\tau_- / \tau_0 = (1 + 0,96 \operatorname{ctg} \beta) / (1 + 0,65 \operatorname{ctg} \beta)$. Вторично (при нулевом угле атаки $\alpha = 0$) момент обращается в нуль при $\tau \approx 0,9$.

При малых углах входа опытные данные по прямому измерению момента отсутствуют. Тем не менее, анализируя характер изменения момента с уменьшением угла входа, можно попытаться получить его приближенное выражение при $0^\circ < \theta < 45^\circ$. Как следует из формул, приведенных выше, с уменьшением угла входа (ростом β) отношение минимального значения момента к максимальному m_i^- / m_i^+ стремится к нулю, а отношение τ_- / τ_0 — к единице. Это является следствием изменения характера распределения давления на смоченной части поверхности диска (при малых углах входа распределение давления вдоль оси y приобретает почти симметричную колоколообразную форму). Зависимость момента от времени в этом случае по существу вырождается в одну положительную полуволну. Если аппроксимировать момент параболой, то зависимость $m_i(\tau)$ принимает вид

$$m_i(\tau) = (4m_i^+ / \tau_0^2)\tau(\tau_0 - \tau) \quad (1.3)$$

Эта формула содержит две неизвестные константы: m_i^+ и τ_0 . Оценим величину m_i^+ при $\theta \rightarrow 0$. Для этого необходимо при $\tau = \tau_+$ иметь значение силы, действующей на диск, и y — координату центра давления.

Предположим, что при малых углах входа зависимость силы, действующей на диск, от глубины погружения его нижней кромки имеет тот же вид, что и



Фиг. 4

при горизонтальной буксировке частично погруженного диска. Последняя зависимость была экспериментально определена Г. В. Логвиновичем и Е. И. Федоровым. При небольшой относительной глубине погружения h/d она линейна и имеет вид [12] $C = 1,78(h/d)$; $h/d < 0,46$, причем при $0^\circ < \alpha < 30^\circ$ слабо зависит от угла атаки α . При этом h/d с точностью до малых второго порядка совпадает с безразмерным временем τ , поэтому при $\tau = \tau_+$ безразмерная сила, действующая на диск, равна $C_x = 1,78\tau_+ = 0,89\tau_0$. Зависимость безразмерной координаты центра давления ($y' = y/d$) от безразмерного времени τ при $\tau < \tau_0$ также не зависит от угла входа и приближенно может быть представлена в виде [7] $y' = -0,5(1 - \tau/\tau_0)$, т. е. при $\tau = \tau_+$ координата центра давления $y'(\tau_+) = -0,25$. Если при малых углах входа вид этой зависимости сохраняется, величина безразмерного момента m_i^+ при $\theta \rightarrow 0$ будет стремиться к $m_i^+ \rightarrow 0,22\tau_0$. При малых углах входа и атаки для определения m_i^+ можно пользоваться приближенной формулой

$$m_i^+ \approx 0,22\tau_0[1 + 0,55 \operatorname{tg}(\theta - \alpha)] \quad (1.4)$$

Следовательно, для зависимости момента от времени при малых углах входа и атаки получаем выражение:

$$m_i(\tau) = (0,89/\tau_0)[1 + 0,55 \operatorname{tg}(\theta - \alpha)]\tau(\tau_0 - \tau), \quad 0^\circ < (\theta - \alpha) < 20^\circ$$

Рассмотрим теперь свойства момента гидродинамических сил при проникании диска в сжимаемую жидкость в случае, когда углы между его плоскостью и невозмущенным уровнем свободной поверхности сравнительно невелики. Эксперименты, проведенные при различных значениях чисел Маха, углов α и β ($0,02 < M < 0,02$; $2^\circ < \beta < 15^\circ$, $-10^\circ < \alpha < +10^\circ$), показали [9], что максимальные значения безразмерного момента $m_2^+ = M_0^+/(2\rho_0 v_0 a_0 R^3)$ и характерные значения безразмерного времени τ являются функциями не каждого из этих параметров в отдельности, а геометрического числа Маха M_0 . Например

$$\cdot m_2^+ \approx 0,08M_0 - 0,012M_0^2, \quad \tau_0 \approx 0,5 + 0,13M_0, \quad 0 < M_0 < 3$$

Нетрудно показать, что в линейном приближении ($M \ll 1, \alpha \ll 1, \beta \ll 1$) при различных значениях параметров M , α и β , но одном и том же геометрическом числе Маха $M_0 = M \cos \alpha / \sin \beta$ (являющемся коэффициентом подобия) течения жидкости подобны. Это, например, означает равенство безразмерных давлений в соответствующих точках диска при равных значениях безразмерного времени.

На фиг. 4 приведены зависимости максимальных значений безразмерного давления в центре диска $\pi = P_+/\rho_0 v_0 a_0$ от M_0 (цифрами 1—5 обозначены экс-

периметральные точки для углов $\beta = 2; 3; 5; 10$ и 15° , сплошной линией — результаты обработки опытных данных методом наименьших квадратов).

При погружении диска в несжимаемую жидкость независимо от значений параметров α и β геометрическое число Маха равно нулю, следовательно, при $\alpha \ll 1, \beta \ll 1$ все течения будут подобны. Зависимость давления в центре диска при $0 < M_0 < 0,5$ можно приблизенно представить в виде $P_+/\rho_0 v_0 a_0 \approx 3,2M_0$. Пользуясь этой формулой, получаем выражение для максимального давления в центре диска при погружении в несжимаемую жидкость: $P_+ \approx 3,2(\rho_0 v_0^2)/\sin \beta$.

Опытные данные, приведенные на фиг. 3, 4, являются экспериментальным подтверждением гидродинамического подобия при несимметричном погружении диска в сжимаемую жидкость. Однако есть исключение. Минимальное значение момента зависит не только от числа M_0 , но и угла β

$$m_2^- \approx 0,058 (1/\sqrt{\beta}) \exp(-0,64 M_0)$$

Это является проявлением нелинейных эффектов. Момент гидродинамических сил — очень чувствительный индикатор распределения давления и он регистрирует отклонение от линейной теории, которое трудно уловить путем прямого измерения давления.

Численные расчеты по определению давления на поверхности абсолютно твердого диска при несимметричном входе в воду со скоростью до 1500 м/с приведены в [13]. Результаты расчетов удовлетворительно согласуются с опытными данными, полученными методом физического моделирования.

2. Напряженно-деформированное состояние. Под действием ударных нагрузок в погружающемся теле возбуждается сложная система волн, распространение которых сопровождается изменением напряженно-деформированного состояния. При небольших скоростях проникания эти изменения невелики и погружающиеся тела можно считать абсолютно твердыми. С ростом скорости интенсивность волновых фронтов растет, а их распространение сопровождается ростом давления в воде и изменениями напряженно-деформированного состояния в погружающемся теле. Для понимания и адекватного описания этих процессов необходимо совместное решение задач гидродинамики и динамической теории упругости.

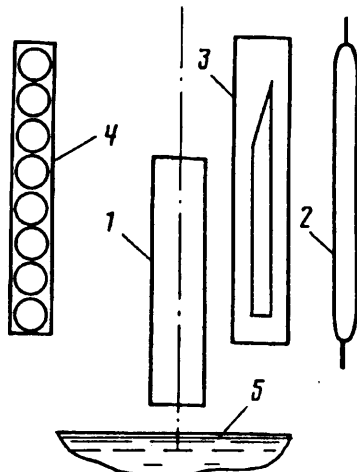
Численные расчеты плоских задач высокоскоростного удара деформируемых тел о поверхность сжимаемой жидкости приведены в [14]. Решение пространственной задачи при несимметричном входе в воду даже для такого тела, как сплошной круговой цилиндр, представляет значительные трудности и пока не получено.

Можно строить приближенное решение совместной задачи. Например, в [15] рассмотрено вертикальное симметричное проникание в воду сплошного упругого цилиндра с плоским срезом со скоростью 100—1000 м/с. В предположении одномерности напряженного состояния приведены оценки максимального давления на поверхности нагружения и осевого напряжения, определена величина импульса за время удара.

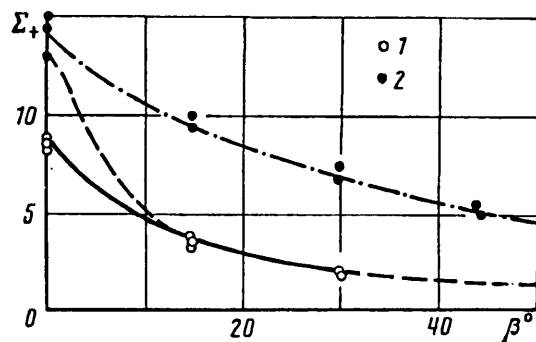
С другой стороны, имеется довольно полное представление о величинах ударных нагрузок, действующих на погружающийся абсолютно твердый диск. Поэтому можно решать динамическую задачу теории упругости для цилиндра с граничными условиями, соответствующими входу в воду. При этом можно воспользоваться принципом суперпозиции продольных и изгибных колебаний, подтвержденным экспериментально [16, 17]: разделив ударные нагрузки на симметричную и несимметричную части, отдельно исследовать распространение продольных и изгибных волн.

При использовании приближенных подходов важное значение имеет экспериментальная проверка сделанных предположений, сравнение численных расчетов с опытами, в которых производится непосредственное измерение параметров в распространяющихся импульсах. Методики регистрации продольных и изгибных волн, возбуждающихся при входе в воду, а также полученные с их помощью результаты приведены в [2—4].

Продольные волны. Для изучения продольных импульсов в [2, 3] использовалось устройство для определения ускорения [19], принципиальная схема которого изображена на фиг. 5.



Фиг. 5



Фиг. 6

Идея метода состоит в следующем. При ударе о воду в погружающемся теле возбуждается волна сжатия, распространение которой сопровождается изменением скорости частиц на ее фронте. При отражении волн от свободного торца скорости удваиваются. Для их регистрации используются удлиненный источник света 2 со световой щелью 3 и фотоприемник 4 (для наглядности 3 и 4 развернуты на 90°). Расстояние осветителя от поверхности воды 5 выбирается таким образом, чтобы в момент касания с ней задний торец модели находился в середине световой щели. При подлете к зоне измерения модель полностью перекрывает световой поток и запускает развертку осциллографа. Затем световая щель начинает открываться. На клиновидном участке, где изменение светового потока растет пропорционально квадрату времени, производится калибровка сигнала, ускорения и определяется скорость модели; на прямоугольном, где освещенность растет пропорционально первой степени времени, происходят удар о воду и регистрация осциллографом изменения светового потока, связанного с отражением от торца волны сжатия.

При данном способе измерения происходит осреднение скачка скорости по части поверхности торца (в пределах ширины щели), поэтому однозначная интерпретация результатов возможна лишь для одномерного импульса. В последнем случае осевое напряжение σ_x и изменение скорости в волне сжатия Δv связаны формулой $\sigma_x = \rho C_0 \Delta v$, т. е. описанная методика позволяет изучать напряженно-деформированное состояние тел, необходимо лишь установить, на каком расстоянии от поверхности нагружения распространяющийся импульс становится одномерным (здесь $C_0 = \sqrt{E/\rho}$, E и ρ — плотность и модуль Юнга материала модели).

Численные расчеты показывают [21], что при нагружении полубесконечного цилиндрического стержня скачком давления распространяющийся импульс можно считать одномерным после прохождения 15—20 диаметров от поверхности нагружения. Изменение осевого напряжения по сечению в этом случае составляет около 1%. Если ограничиться точностью 5—10%, обычной для такого рода измерений, головной импульс можно считать одномерным начиная с расстояния четырех калибров, тем более что при дальнейшем его распространении форма сигнала изменяется довольно медленно [3].

Сравним величины ударных сил, действующих на нижнее основание цилиндра, и значения вызываемых ими осевых напряжений. На фиг. 6 приведена зависимость максимального значения безразмерного осевого напряжения $\Sigma_x = 2\sigma_x/\rho_0 v_0^2$ от угла β . Опытные данные для сплошного титанового цилиндра диаметром $d = 30$ мм и длиной $L = 180$ мм при скорости проникания $v_0 = 250$ м/с обозначены точками 1, результаты обработки экспериментов методом наименьших квадратов изображены сплошной линией, максимальные значения безразмерной силы C_x^+ — штриховой.

Особенно сильное несоответствие этих зависимостей наблюдается при плоском ударе о воду, когда крутизна фронта очень велика (при $\beta = 0$ время нарастания силы значительно меньше времени прохождения волной расстояния, равного диаметру цилиндра). При распространении таких коротких импульсов с крутym

передним фронтом максимальное осевое напряжение после прохождения расстояния порядка четырех диаметров (т. е. к моменту времени, когда волна становится одномерной) уменьшается приблизительно в 2 раза, а протяженность импульса возрастает примерно в 5 раз (интегральное значение почти не меняется). Если за время нагружения импульс успевает пройти расстояние порядка 8–10 диаметров ($\beta > 15^\circ$), имеет место удовлетворительное соответствие результатов. На фиг. 6 приведены также опытные данные для осевого напряжения в тонкостенной титановой модели в виде стакана диаметром $d = 30$ мм, длиной $L = 180$ мм при длине сплошной головной части $L_0 = 15$ мм и толщине стенки $\delta = 2,5$ мм (точки 2).

Изгибные волны. Метод регистрации углов поворота [20] позволяет изучать изгибные колебания тел при несимметричном входе в воду с большой скоростью.

Измерительная система состоит из лазера, модели с плоским зеркалом на свободном торце, экрана и фотоаппарата. На некотором расстоянии от поверхности воды модель, летящая со скоростью v_0 , входит в зону измерения, луч лазера попадает на зеркало и отражается на полупрозрачный экран. Описанная им линия регистрируется находящейся позади экрана фотокамерой. В экспериментах определяется угол поворота верхнего основания модели $\Delta\varphi$, связанный простым соотношением с отклонением h от нулевой линии луча лазера на экране: $\Delta\varphi = h/(2\xi \cos \varphi)$, где ξ — расстояние от зеркала модели до экрана, φ — угол между лучом лазера и осью канала ствола. Поступательное движение модели осуществляется развертку осциллограммы по времени в «горизонтальном» направлении, а поворот под действием гидродинамических сил — в «вертикальном». Скорость развертки луча лазера на экране равна $2v_0 \sin \varphi$. Если амплитуда изгибных колебаний невелика, угловую скорость можно определить по формуле $\Omega = (v_0 \operatorname{tg} \varphi \operatorname{tg} \kappa)/\xi$, где κ — угол наклона осциллограммы по отношению к нулевой линии. Методика [20] позволяет также определять углы атаки и скольжения тела в момент его касания с поверхностью жидкости и не имеет принципиальных ограничений на скорость входа. Чувствительность при измерении угловых перемещений зависит от толщины луча лазера и расстояния ξ и в проведенных экспериментах имеет порядок $\pm 0,03^\circ$,

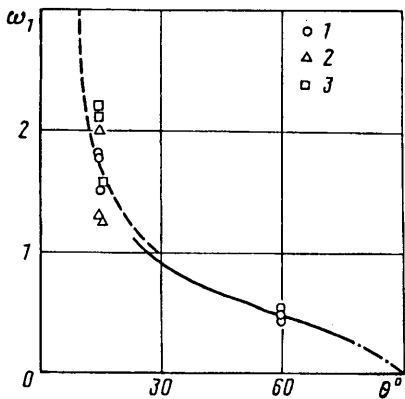
Результаты исследования углов поворота и изгибных колебаний сплошных цилиндрических моделей различной длины при скоростях проникания 100–400 м/с и углах входа $\theta = 60$ и 15° опубликованы в [3, 4]. Ниже приведены опытные данные, характеризующие зависимость амплитуды колебаний угла поворота $2a \cdot 10^3$ (радиан) верхнего основания сплошного титанового цилиндра диаметром 30 и длиной 60 мм от скорости входа:

v , м/с	185	270	270	310	348	365	365	375	375
I	0,30	1,3	1,7	2,0	2,6	3,6	3,9	3,4	3,8
II	0,31	1,4	1,4	2,2	3,2	3,7	3,7	4,0	4,0

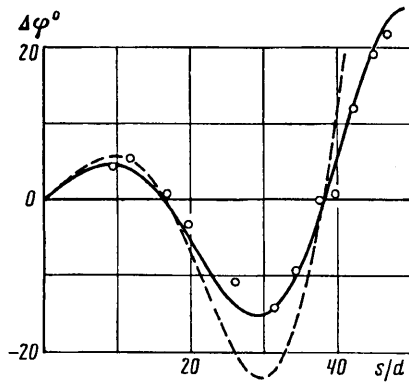
Опытные данные I удовлетворительно согласуются с результатами численных расчетов II, проведенных по уравнениям изгибных колебаний балки Тимошенко при нагружении одного из ее оснований моментом гидродинамических сил, соответствующим условиям входа в воду [3, 4].

Содержание волнового пакета, распространяющегося по цилиндуру, зависит от угла входа. При вертикальном симметричном проникании возбуждаются продольные волны, при малых углах входа — изгибные. При промежуточных значениях возбуждаются и те и другие.

3. Движение диска в начальной стадии погружения. Экспериментальное исследование входа диска (цилиндра торцом) в воду включает в себя не только определение ударных нагрузок и напряженно-деформированного состояния, но и изучение его движения на подводной части траектории. Ударное взаимодействие с поверхностью жидкости приводит к уменьшению скорости проникания, изменению углов входа и атаки, а также появлению угловой скорости (вращению цилиндра). Режим прямолинейного поступательного движения цилиндра является неустойчивым. Значения угла атаки и угловой скорости после окончания ударной стадии погружения вместе с массово-геометрическими характеристиками опре-



Фиг. 7



Фиг. 8

деляют скорость развития возмущений на подводной части траектории. Для получения необходимой информации о характере этого движения необходимо проведение пространственно-временных измерений. В отличие от аэромеханики, где задачи определения сил и моментов, действующих на тело в свободном полете, давно уже стали традиционными [22], в гидродинамике в этом направлении сделаны лишь первые шаги.

Определение угловой скорости. Рассмотрим вход в воду короткого цилиндра, имеющего массу m и момент инерции I относительно поперечной оси, проходящей через центр масс. Зная момент гидродинамических сил и интегрируя по времени уравнение вращательного движения цилиндра относительно центра масс при начальных условиях $t = 0, \theta = \theta_0, \alpha = \alpha_0, \Omega = \Omega_0$, можно получить значение угловой скорости в момент окончания ударной стадии погружения ($t = t_*$). В частности, при малых углах входа получаем следующее выражение для безразмерной угловой скорости:

$$\omega_* = \omega_0 + 1,86 \left(\frac{\rho_0 R^5}{I} \right) \frac{[1 + 0,55 \operatorname{tg}(\theta_0 - \alpha_0)] \cos(\theta_0 - \alpha_0)}{\sin \theta_0} \tau_*^2$$

$$\omega = \frac{d\Omega}{v_0}, \quad \omega_* = \omega(\tau_*), \quad m = \pi \rho R^2 L, \quad I = \frac{m(R^2 + L^2)}{12} \quad (3.1)$$

Величину параметра τ_0 ($\tau_0 \approx 0,5$) можно уточнить при сравнении расчетов с экспериментальными данными. На фиг. 7 приведена зависимость безразмерной угловой скорости $\omega_1 = (\omega_* - \omega_0)(I/\rho_0 R^5)$ от угла входа при нулевом угле атаки (в экспериментах углы атаки изменялись в пределах $\pm 2^\circ$). Сплошная линия изображает зависимость, полученную при численном интегрировании момента [9], штриховая построена по формуле (3.1) при $\tau_0 = 0,48$. Точками 1—3 обозначены опытные данные при скоростях входа $v_0 = 135, 185$ и 230 м/с. Эксперименты проводились со сплошными титановыми моделями ($\theta = 15^\circ, d = 30$ мм, $L = 120$ мм; $\theta = 60^\circ, d = 30$ мм, $L = 60$ мм). Результаты расчетов, приведенные на фиг. 7, удовлетворительно согласуются с опытными данными. При малых углах входа угловая скорость имеет особенность вида $1/\theta_0$. Необходимо отметить, что асимптотику момента, построенную в разд. 1 при малых углах входа, можно распространить на случай переменной скорости погружения и изменяющиеся во времени углы входа и атаки.

Устойчивость движения. Будем предполагать, что изменения скорости, углов входа и атаки за время ударной стадии погружения незначительны и их можно не учитывать. Величину угловой скорости после удара о воду обозначим ω_* . После полного смачивания нижнего основания цилиндра на него будет действовать сила сопротивления $F_x = 2C_x(\pi\rho_0 v^2 R^2)$ и восстанавливающий момент

$M_z = C_m(\pi\rho_0 v^2 R^3)$. Здесь $C_x = 0,82 \cos \alpha$, $C_m = C_x(K_\alpha \sin \alpha + K_\omega \omega)$ — коэффициенты сопротивления и момента, K_α , K_ω — некоторые, неизвестные пока константы (вращательные производные). Первый член в выражении для C_m учитывает зависимость момента от угла атаки α в квазистационарном приближении, второй — влияние угловой скорости ω (замыв боковой поверхности цилиндра не учитывается).

Впервые уравнения движения диска (пластинки) при струйном обтекании исследованы в [23]. Показано, что при постоянной скорости центра диска его движение является неустойчивым. При медленном вращении и малых значениях угла атаки ($\omega \ll 1$, $\alpha \ll 1$) уравнения движения цилиндра можно проинтегрировать в общем виде. В этом случае для скорости проникания и угла атаки получаем следующие выражения:

$$v = v_* e^{-\lambda s}$$

$$(\alpha - \alpha_*) = e^{\lambda s} \left\{ \alpha_* \cos \mu s + \left[\frac{\alpha_*}{\mu} \left(\frac{1}{2} lB + C \right) + \frac{(1 + lC) \omega_*}{\mu} \right] \sin \mu s \right\}$$

$$\lambda = A + \frac{1}{2} lB - C, \quad \mu = \sqrt{D}, \quad D = 2B - \left(\frac{1}{2} lB - C \right)^2$$

$$A = \frac{\pi \rho_0 R^3 C_x}{m}, \quad B = \frac{2\pi \rho_0 R^5 C_x}{I} K_\alpha, \quad C = \frac{\pi \rho_0 R^5 C_x}{I} K_\omega$$

Здесь s — безразмерный путь, пройденный с момента окончания ударной стадии погружения t_* , и отнесенный к диаметру цилиндра ($s(t_*) = 0$), $l = L/2R$ — безразмерная длина цилиндра, v_* , ω_* , α_* — значения скорости, угловой скорости и угла атаки при $t = t_*$.

В квазистационарном приближении ($K_\omega = 0$) параметр λ имеет положительное значение, т. е. прямолинейное поступательное движение цилиндра является неустойчивым. С ростом пути s под действием начальных возмущений, вносимых углом атаки α_* и угловой скоростью ω_* , развиваются колебания угла атаки, амплитуда которых с течением времени растет, пока не произойдет замыв боковой поверхности. Выражения для угла поворота цилиндра $\Delta\beta = (\beta - \beta_*)$ и поперечного смещения центра кавитатора (диска) $y_0(s)$ имеют тот же вид, что и для угла атаки, хотя и более громоздки.

С использованием методики пространственно-временных измерений кинематических параметров было проведено измерение углов поворота $\Delta\beta$ и поперечного смещения y_0 цилиндра. В результате обработки экспериментов, проведенных с различными моделями, и их сопоставления с теоретическими расчетами получены следующие значения вращательных производных: $K_\alpha = 0,09$; $K_\omega = 0,26$. На фиг. 8 приведена зависимость угла поворота $\Delta\beta$ от безразмерного пути s для стального цилиндра диаметром $2R = 30$ мм и длиной $L = 35$ мм ($m = 185$ г). Эксперименты проводились при скорости проникания $v_0 = 240$ м/с и угле входа $\theta = 60^\circ$. Углы атаки изменялись в пределах $\pm 2^\circ$. Сплошной линией изображены результаты расчетов по приближенной аналитической формуле при $K_\alpha = 0,09$; $K_\omega = 0,26$, штриховой при $-K_\alpha = 0,09$; $K_\omega = 0$.

Эксперименты подтверждают как колебательный характер движения цилиндра на подводной части траектории, так и возрастание амплитуды колебаний (во всем интервале изменения $0 < s < 50$ замыва боковой поверхности не было). Пользуясь полученными выше значениями для вращательных производных K_α , K_ω , в рамках предложенной теоретической модели можно исследовать зависимости λ и μ от безразмерной длины модели. Нетрудно показать, что для сплошных цилиндров $\lambda(l) > 0$ при $l > 0,2$. При $l \approx 0,6$ величина λ имеет максимум, а затем монотонно стремится к нулю. С ростом длины цилиндра влияние K_ω на величину λ быстро убывает (при $l = 3$ оно не превосходит 10%). Величина μ практически не зависит от l .

СПИСОК ЛИТЕРАТУРЫ

1. Ерошин В. А., Романенков Н. И., Серебряков И. В., Якимов Ю. Л. Гидродинамические силы при ударе тупых тел о поверхность сжимаемой жидкости//Изв. АН СССР. МЖГ. 1980. № 6. С. 44—51.
2. Ерошин В. А. Экспериментальное изучение волн сжатия, возбуждающихся в упругом цилиндре при входе в воду//Прикладные проблемы прочности и пластичности. Горький: Изд-во Горьк. ун-та, 1990. Вып. № 46. С. 54—59.
3. Ерошин В. А. Проникание упругого цилиндра в воду с большой скоростью: Препринт № 5. М.: Ин-т механики МГУ, 1991. 83 с.
4. Ерошин В. А., Плюснин А. В., Созоненко Ю. А., Якимов Ю. Л. О методике исследования изгибных колебаний упругого цилиндра при входе в воду под углом к свободной поверхности//Изв. АН СССР. МЖГ. 1989. № 6. С. 164—167.
5. Журавлев Ю. Ф. Погружение в жидкость диска под углом к свободной поверхности//Сб. работ по гидродинамике. М.: ЦАГИ, 1959. С. 227—233.
6. Шорыгин О. П., Шульман Н. А. Вход диска в воду с углом атаки//Уч. зап. ЦАГИ. 1977. Т. 8. № 1. С. 12—21.
7. Осьминин Р. И. Измерение коэффициента момента силы, действующей на изолированный диск при его погружении под углом к свободной поверхности воды//Тр. ЦАГИ. 1976. Вып. 1741. С. 19—23.
8. Ерошин В. А. Погружение диска в сжимаемую жидкость под углом к свободной поверхности//Изв. АН СССР. МЖГ. 1983. № 2. С. 142—144.
9. Ерошин В. А., Константинов Г. А., Романенков Н. И., Якимов Ю. Л. Экспериментальное определение момента гидродинамических сил при несимметричном проникании диска в сжимаемую жидкость//Изв. АН СССР. МЖГ. 1990. № 5. С. 88—94.
10. Ерошин В. А., Константинов Г. А., Романенков Н. И., Якимов Ю. Л. Экспериментальное определение давления на диске при погружении в сжимаемую жидкость под углом к свободной поверхности//Изв. АН СССР. МЖГ. 1988. № 2. С. 21—25.
11. Ерошин В. А., Константинов Г. А., Романенков Н. И., Якимов Ю. Л. Распределение давления на поверхности сферического сегмента при погружении в сжимаемую жидкость//Изв. АН СССР. МЖГ. № 2. С. 9—14.
12. Стрекалов В. В. Рикошет при входе в воду диска, плоскость которого близка к вертикальной//Уч. зап. ЦАГИ. 1977. Т. 8. № 5. С. 66—73.
13. Альев Г. А. Пространственная задача о погружении диска в сжимаемую жидкость//Изв. АН СССР. МЖГ. 1988. № 1. С. 17—20.
14. Баженов В. Г., Козлоз Е. А., Крылов С. В. Численное моделирование нелинейных двумерных задач ударного взаимодействия деформируемых сред и конструкций на основе метода С. К. Годунова//Прикладные проблемы прочности и пластичности: Горький, Изд-во Горьк. ун-та, 1990. Вып. 45. С. 99—106.
15. Laumbach D. Impact shock on blunt-nosed missile striking water with its axis normal to the water, S. C.—N. M.—64. Sept. 2964. 25 p.
16. Белл Дж. Ф. Экспериментальные основы механики деформируемых твердых тел. Ч. 1. Малые деформации. М.: Наука, 1984. 596 с.
17. De Vault G. P., Curtis C. W. Elastic cylinder with free lateral surface and mixed time-dependent and conditions//J. Acoust. Soc. Amer. 1962. V. 30. № 4. P. 421—432.
18. Плюснин А. В. Расчет возмущений свободного торца цилиндра при ударном воздействии на другой торец//Некоторые задачи о поведении вязких и упругопластических конструкций. М.: Изд-во МГУ, 1989. С. 136—149.
19. Серебряков И. В. Устройство для определения ускорения: А. с. № 638897 СССР//Б. И. 1978. № 47.
20. Ерошин В. А., Макарин В. М., Константинов Г. А. и др. Способ определения параметров движения объекта с зеркальной поверхностью и устройство для его осуществления: А. с. № 1486775 СССР//Б. И. 1989. № 22. С. 156.
21. Джонс, Норвуд. Распределение деформаций и напряжений в поперечном сечении упругого цилиндрического стержня в условиях осесимметричного импульсного нагружения//Прикл. механика: Тр. амер. о-ва инж.-мех. 1967. № 3. С. 280—288.
22. Златин Н. А., Красильников А. П., Мишин Г. И., Попов Н. Н. Баллистические установки и их применение в экспериментальных исследованиях. М.: Наука, 1974. 344 с.
23. Ерошин В. А., Привалов В. А., Самсонов В. А. Две модельные задачи о движении тела в сопротивляющейся среде//Сб. научно-методических статей по теоретической механике. М.: Высш. шк., 1987. Вып. 18. С. 75—78.

Москва

Поступила в редакцию
20.XII.1991